АС ЭНЕРГИЯ

Диод низкочастотный
Д143-1250-18

Средний прямой ток				I_{FAV}	1250 А			
Повторяющееся импульсное обратное напряжение				U_{RRM}	1000 - 1800 В			
U_{RRM}, В	1000	1100	1200	1300	1400	1500	1600	1800
Класс по напряжению	10	11	12	13	14	15	16	18
T_j, °C	-60 ÷ 190							

ПРЕДЕЛЬНО ДОПУСТИМЫЕ ЗНАЧЕНИЯ ПАРАМЕТРОВ

Обозначение и наименование параметра		Ед. изм.	Значение	Условия измерения	
Параметры в проводящем состоянии					
I_{FAV}	Средний прямой ток	А	1250 1500	T_c=121 °C; двухстороннее охлаждение; T_c=100 °C; двухстороннее охлаждение; 180 эл. град. синус; 50 Гц	
I_{FRMS}	Действующий прямой ток	А	1963	T_c=121 °C; двухстороннее охлаждение; 180 эл. град. синус; 50 Гц	
I_{FSM}	Ударный ток	кА	22.0 25.0	T_j=$T_{j\,max}$ T_j=25 °C	180 эл. град. синус; 50 Гц (t_p=10 мс); единичный импульс; U_R=0 В;
			24.0 28.0	T_j=$T_{j\,max}$ T_j=25 °C	180 эл. град. синус; 60 Гц (t_p=8.3 мс); единичный импульс; U_R=0 В;
I^2t	Защитный фактор	$A^2c\cdot10^3$	2420 3125	T_j=$T_{j\,max}$ T_j=25 °C	180 эл. град. синус; 50 Гц (t_p=10 мс); единичный импульс; U_R=0 В;
			2390 3250	T_j=$T_{j\,max}$ T_j=25 °C	180 эл. град. синус; 60 Гц (t_p=8.3 мс); единичный импульс; U_R=0 В;
Блокирующие параметры					
U_{RRM}	Повторяющееся импульсное обратное напряжение	В	1000÷1800	$T_{j\,min}$< T_j <$T_{j\,max}$; 180 эл. град. синус; 50 Гц	
U_{RSM}	Неповторяющееся импульсное обратное напряжение	В	1100÷1900	$T_{j\,min}$< T_j <$T_{j\,max}$; 180 эл. град. синус; 50 Гц; единичный импульс	
U_R	Постоянное обратное напряжение	В	$0.75\cdot U_{RRM}$	T_j=$T_{j\,max}$;	
Тепловые параметры					
T_{stg}	Температура хранения	°C	-60÷50		
T_j	Температура p-n перехода	°C	-60÷190		
Механические параметры					
F	Монтажное усилие	кН	14.0÷16.0		
a	Ускорение	м/с^2	50 100	В не зажатом состоянии В зажатом состоянии	

ХАРАКТЕРИСТИКИ

Обозначение и наименование характеристики		Ед. изм.	Значение	Условия измерения	
Характеристики в проводящем состоянии					
U_{FM}	Импульсное прямое напряжение, макс	В	1.65	T_j=25 °C; I_{FM}=3925 А	
$U_{F(TO)}$	Пороговое напряжение, макс	В	0.95	$T_j=T_{j\,max}$; 0.5 р I_{FAV} < I_T < 1.5 р I_{FAV}	
r_T	Динамическое сопротивление, макс	мОм	0.250		
Блокирующие характеристики					
I_{RRM}	Повторяющийся импульсный обратный ток, макс	мА	70	$T_j=T_{j\,max}$; $U_R=U_{RRM}$	
Тепловые характеристики					
R_{thjc}	Тепловое сопротивление p-n переход-корпус, макс	°C/Вт	0.0320	Постоянный ток	Двухстороннее охлаждение
R_{thjc-A}			0.0704		Охлаждение со стороны анода
R_{thjc-K}			0.0576		Охлаждение со стороны катода
R_{thck}	Тепловое сопротивление корпус-охладитель, макс	°C/Вт	0.0060	Постоянный ток	
Механические характеристики					
w	Масса, не более	г	260		
D_s	Длина пути тока утечки по поверхности	мм (дюйм)	23.69 (0.933)		
D_a	Длина пути тока утечки по воздуху	мм (дюйм)	19.10 (0.752)		

МАРКИРОВКА

Д 143 – 1250 – 18 УХЛ2

1 2 3 4 5

1. Д — Низкочастотный диод
2. Конструктивное исполнение
3. Средний прямой ток, А
4. Класс по напряжению
5. Климатическое исполнение по ГОСТ 15150: УХЛ2, Т2

ГАБАРИТНЫЕ РАЗМЕРЫ

Тип корпуса: PD42, D.C2

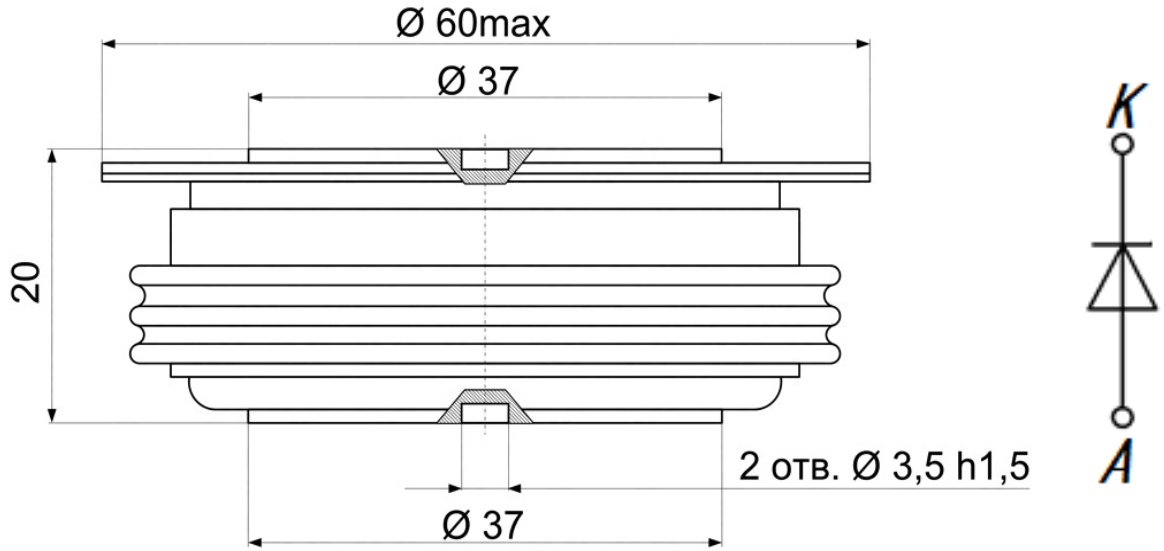

К – катод, А – анод

Все размеры в миллиметрах

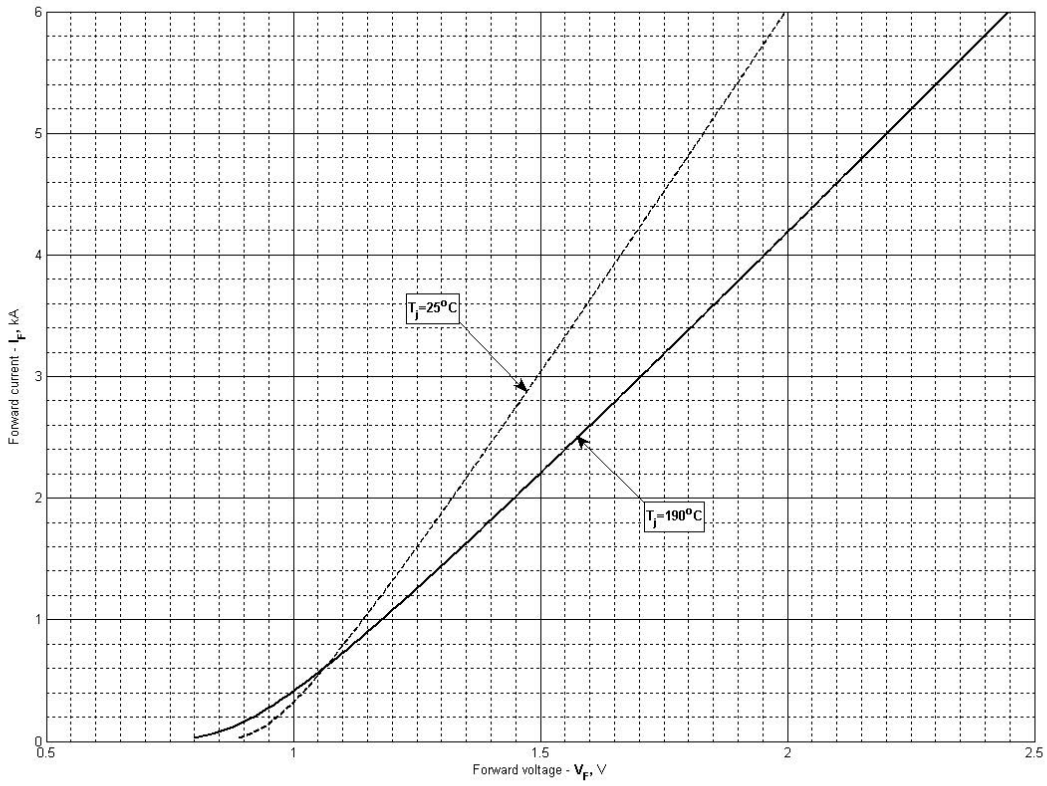

Рис. 1 – Предельная вольт — амперная характеристика

Аналитическая функция предельной вольт — амперной характеристики:

$$V_F = A + B \cdot i_F + C \cdot \ln(i_F + 1) + D \cdot \sqrt{i_F}$$

	Coefficients for max curves	
	T_j = 25°C	$T_j = T_{j\,max}$
A	0.843100	0.728162
B	0.131160	0.191782
C	-0.172583	-0.268141
D	0.286381	0.444947

Модель предельной вольт – амперной характеристики (см. Рис. 1).

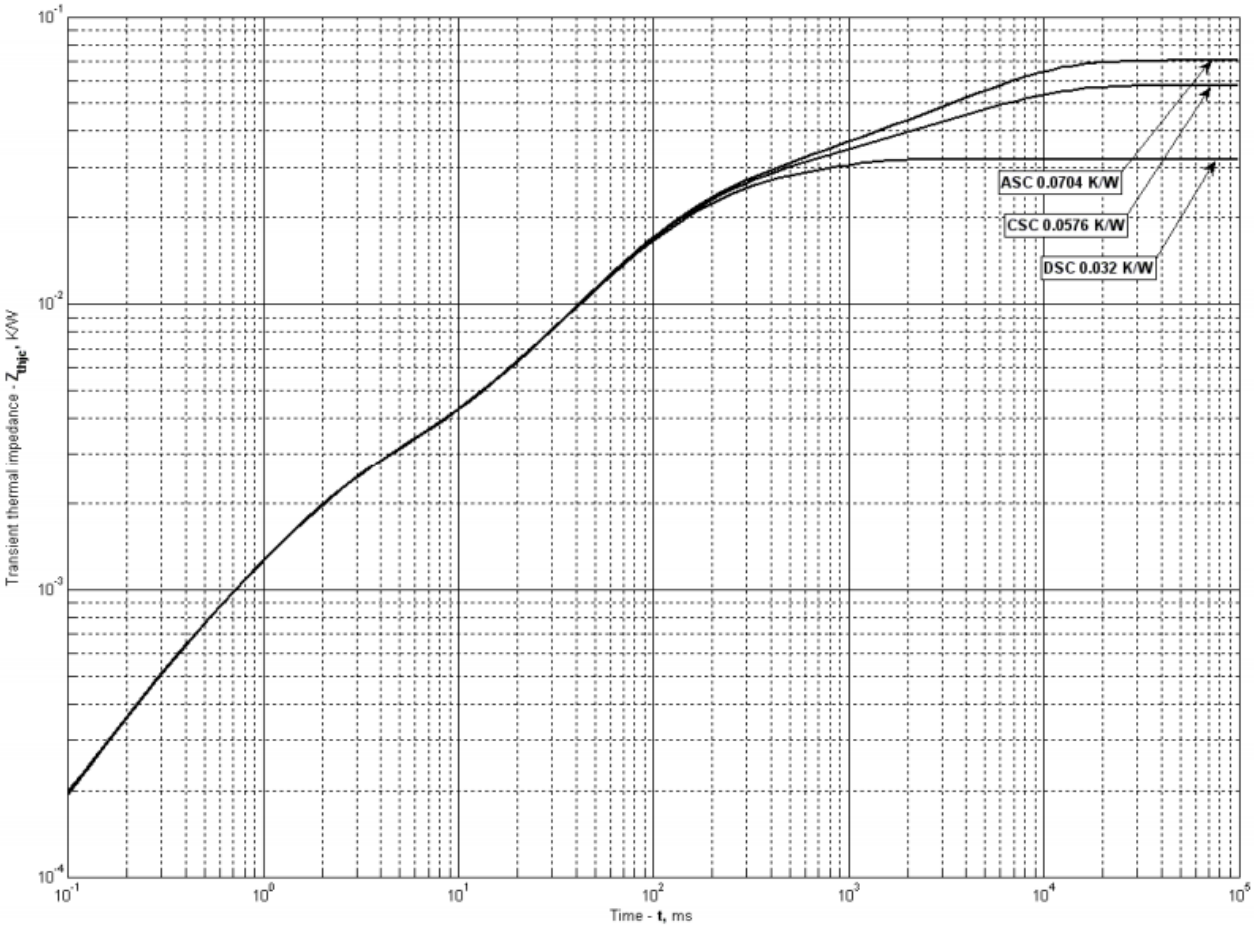

Рис. 2 – Переходное тепловое сопротивление

Аналитическая зависимость переходного теплового сопротивления переход — корпус:

$$Z_{thjc} = \sum_{i=1}^{n} R_i \left(1 - e^{-\frac{t}{\tau_i}}\right)$$

Где ***i*** = 1 до ***n***, ***n*** – число суммирующихся элементов.

t = продолжительность импульсного нагрева в секундах.

$\mathbf{Z_{thjc}}$ = Тепловое сопротивление за время t.

$\mathbf{R_i}$, $\mathbf{t_i}$ = расчетные коэффициенты, приведенные в таблице.

Постоянный ток, двустороннее охлаждение

i	1	2	3	4	5	6
R_i, K/W	0.000005619	0.01031	0.01922	0.0004148	0.001895	0.0001521
t_i, s	7.790	0.5094	0.09719	0.01725	0.0016	0.0002257

Постоянный ток, охлаждение со стороны катода

i	1	2	3	4	5	6
R_i, K/W	0.0381	0.008681	0.01867	0.001961	0.0001787	0.002771
t_i, s	5.351	0.4584	0.09325	0.001734	0.0002174	0.9059

Постоянный ток, охлаждение со стороны анода

i	1	2	3	4	5	6
R_i, K/W	0.02561	0.0007698	0.01797	0.001931	0.000209	0.01416
t_i, s	5.328	0.1832	0.09031	0.001714	0.0002598	0.525

Модель переходного теплового сопротивления переход - корпус (см. Рис. 2)

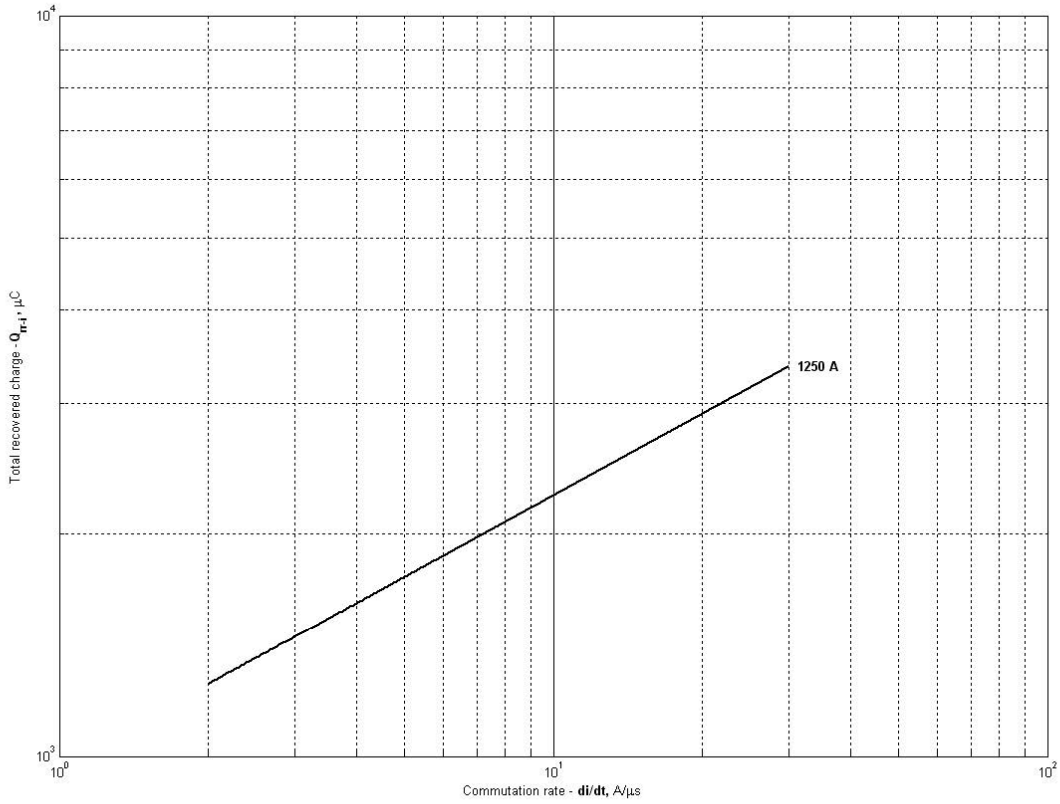

Рис. 3 - Заряд обратного восстановления, Q_{rr-i}

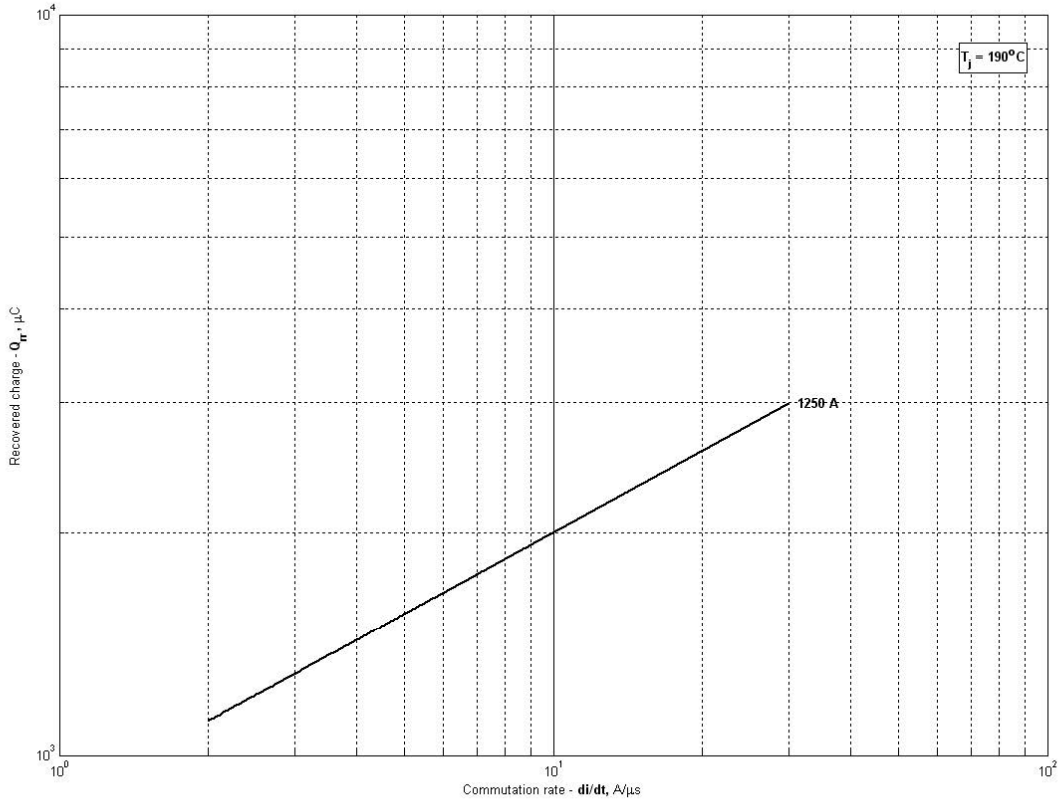

Рис. 4 - Заряд обратного восстановления, Q_{rr} (линеризованный)

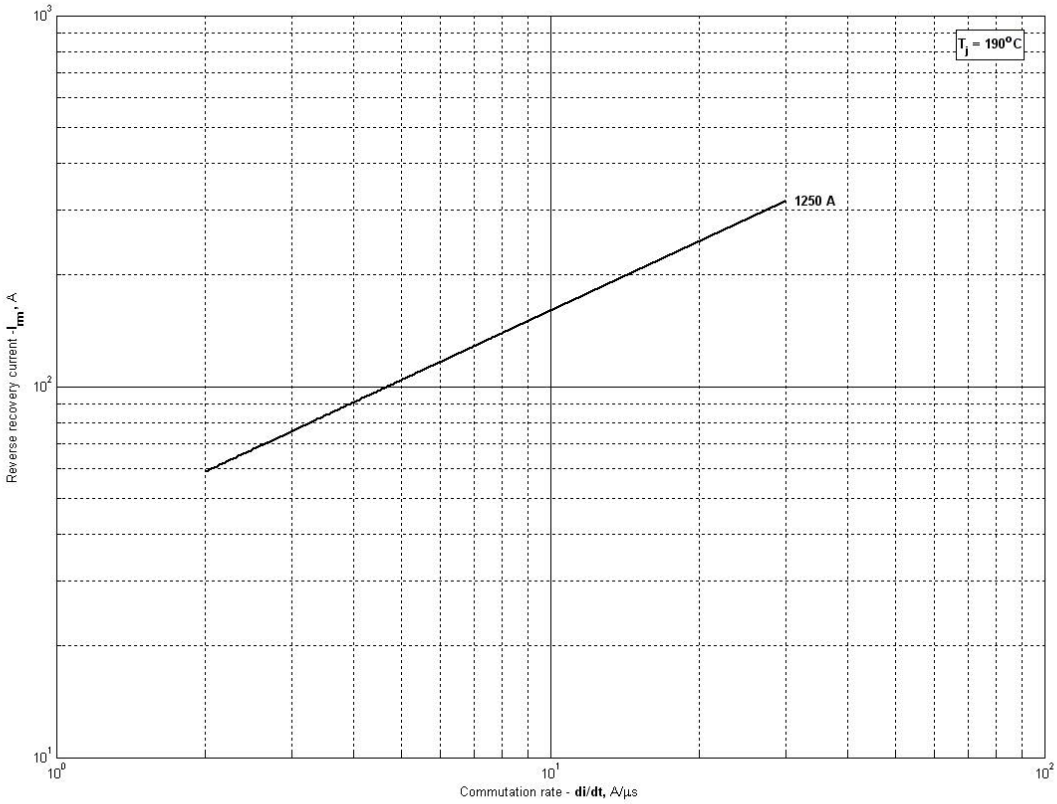

Рис. 5 - Максимальный обратный ток восстановления, I_{rm}

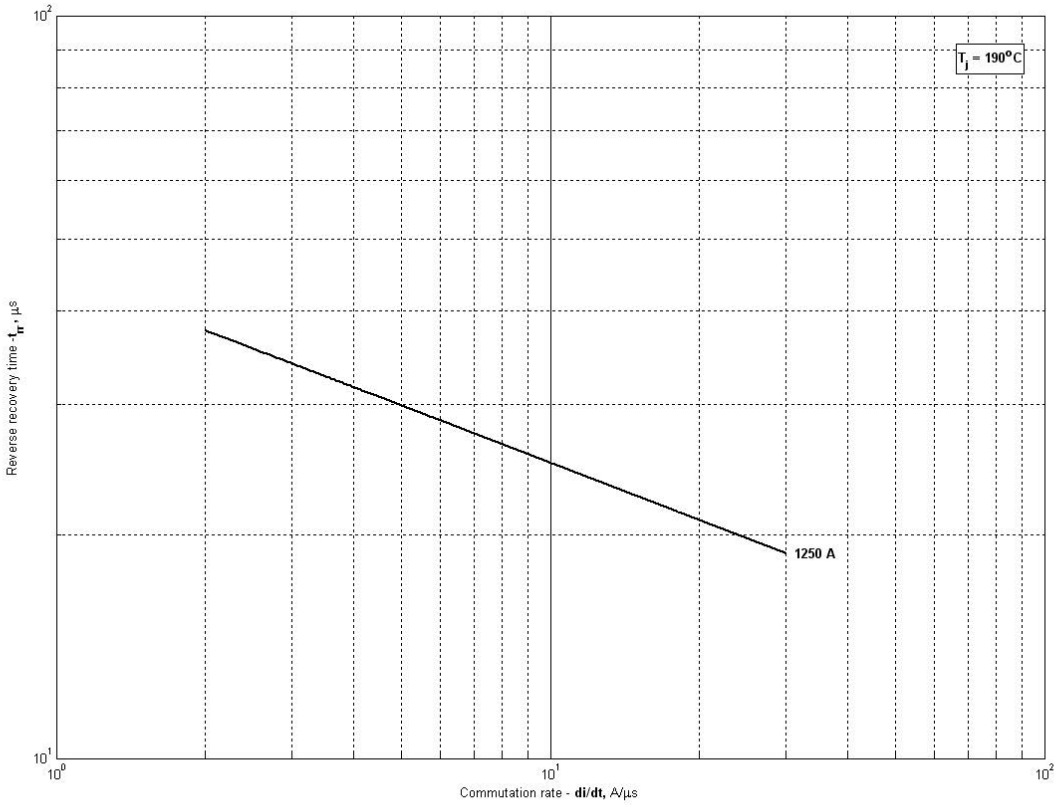

Рис. 6 - Максимальное время обратного восстановления, t_{rr} (линеризованный)

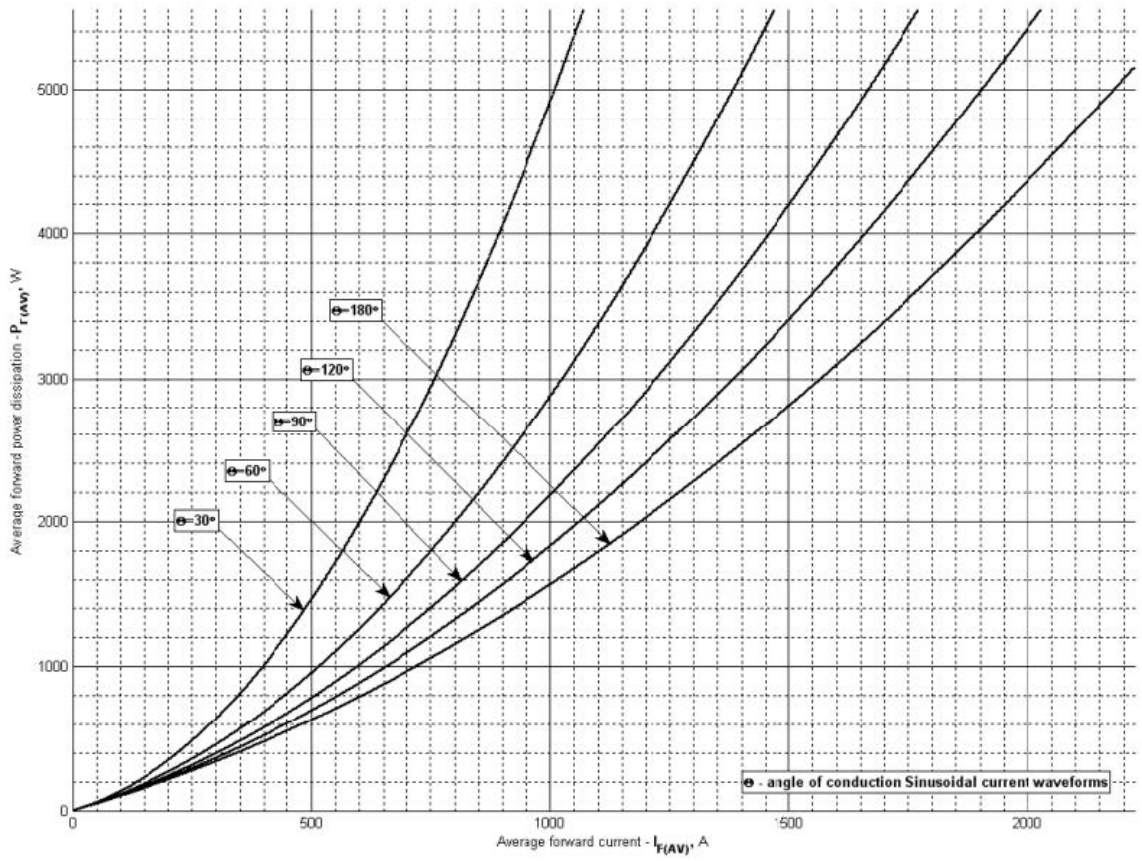

Рис. 7 - Зависимость потерь мощности P_{FAV} от среднего прямого тока I_{FAV} синусоидальной формы при различных углах проводимости (f=50 Гц, двустороннее охлаждение)

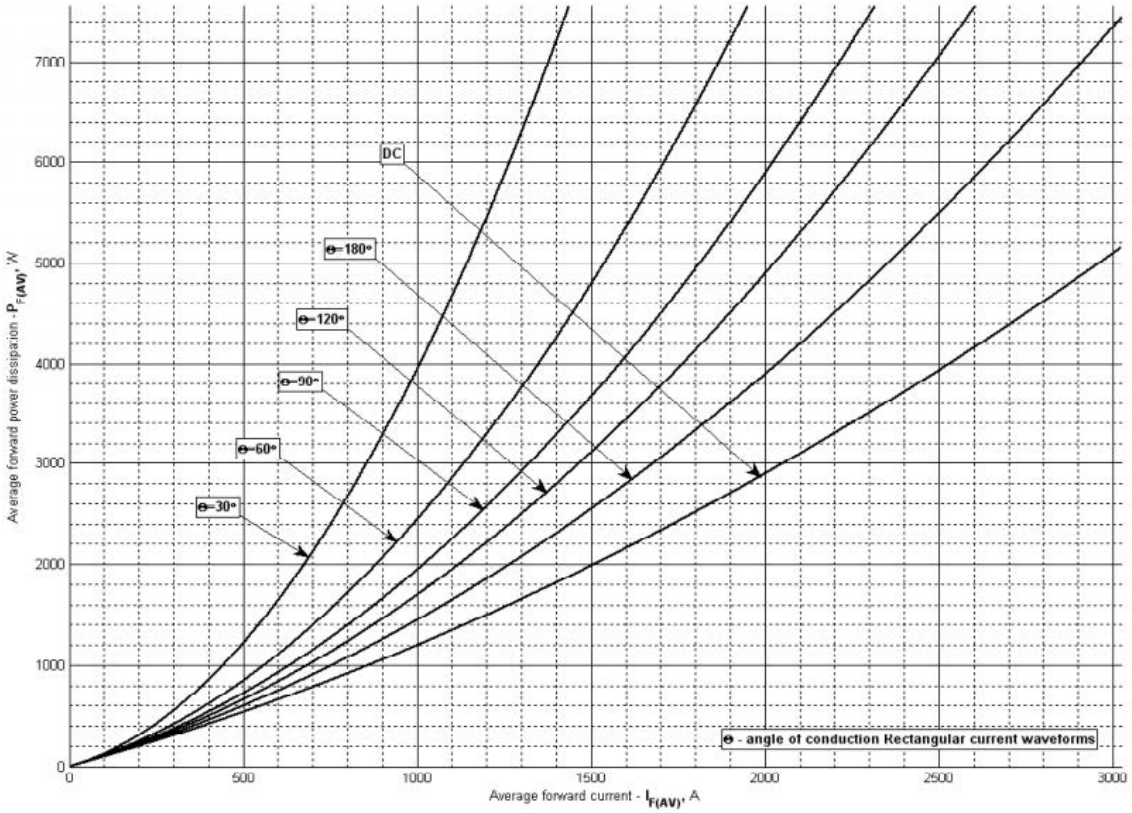

Рис. 8 – Зависимость потерь мощности P_{FAV} от среднего прямого тока I_{FAV} прямоугольной формы при различных углах проводимости (f=50 Гц, двустороннее охлаждение)

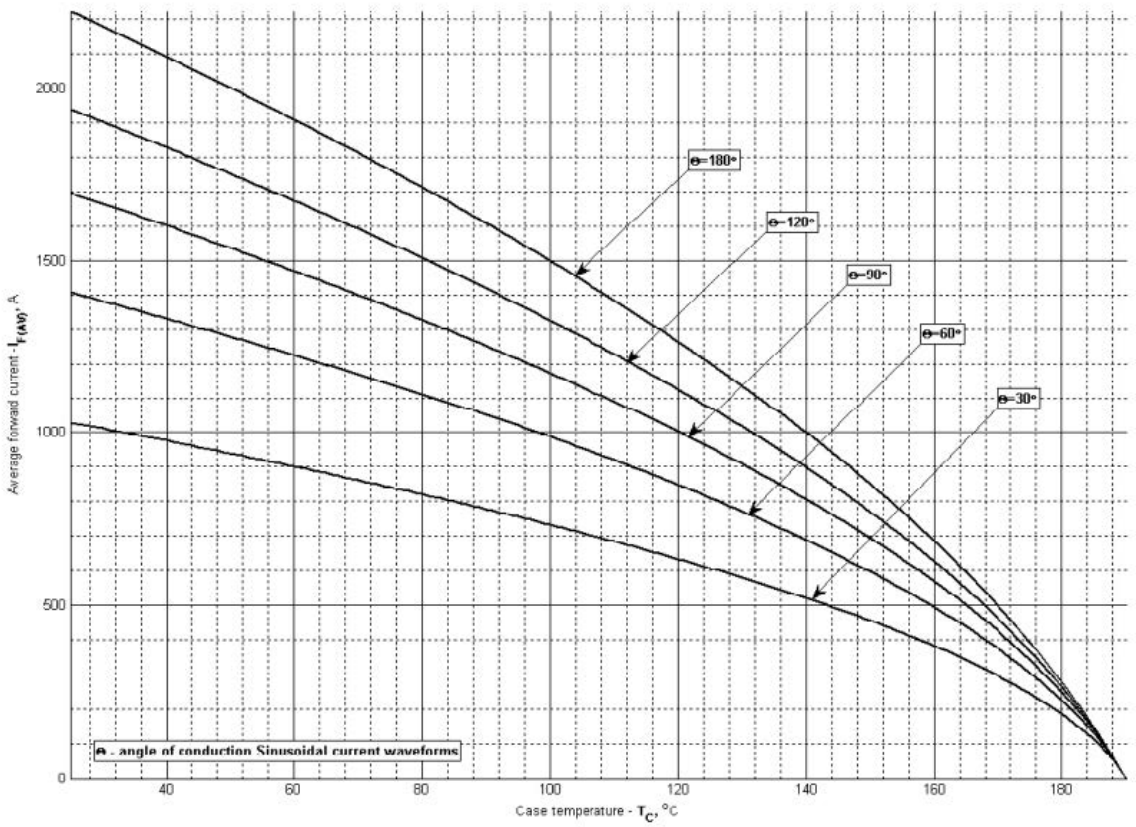

Рис. 9 – Зависимость среднего прямого тока I_{FAV} от температуры корпуса T_C для синусоидальной формы тока при различных углах проводимости (f=50 Гц, Двустороннее охлаждение)

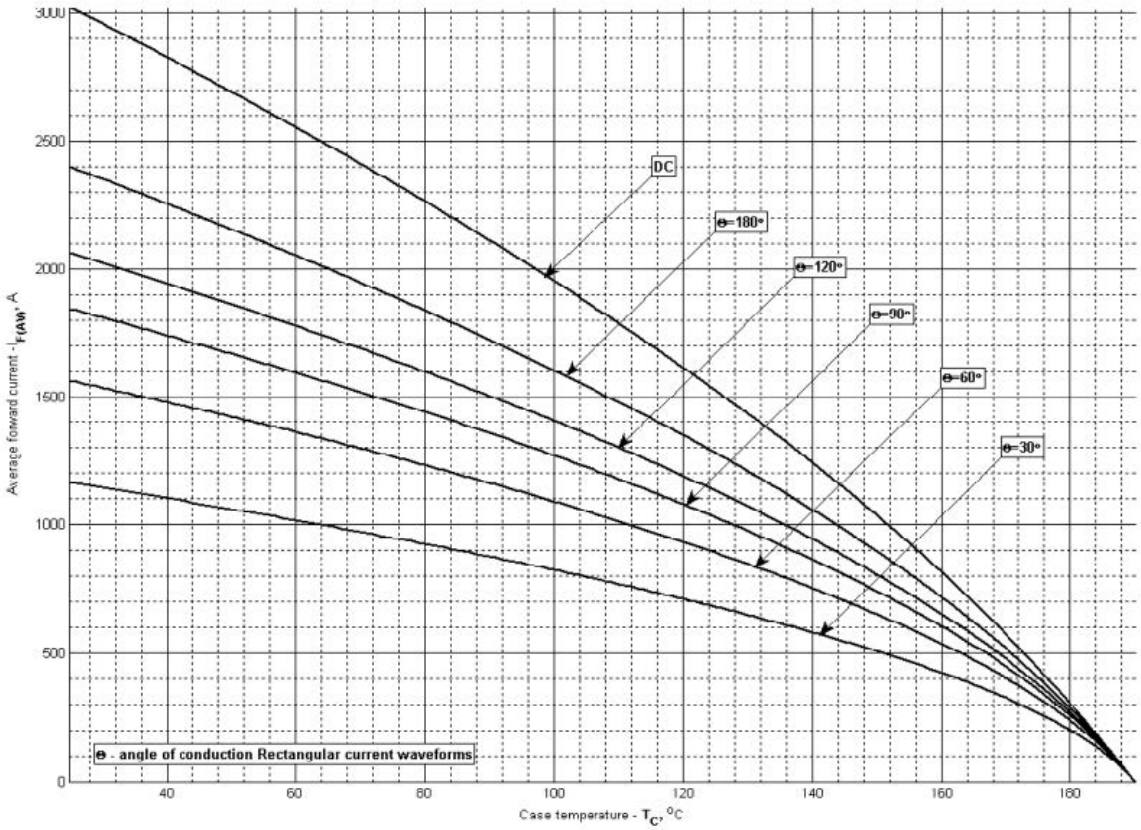

Рис. 10 - Зависимость среднего прямого тока I_{FAV} от температуры корпуса T_C для прямоугольной формы тока при различных углах проводимости (f=50 Гц, Двустороннее охлаждение)

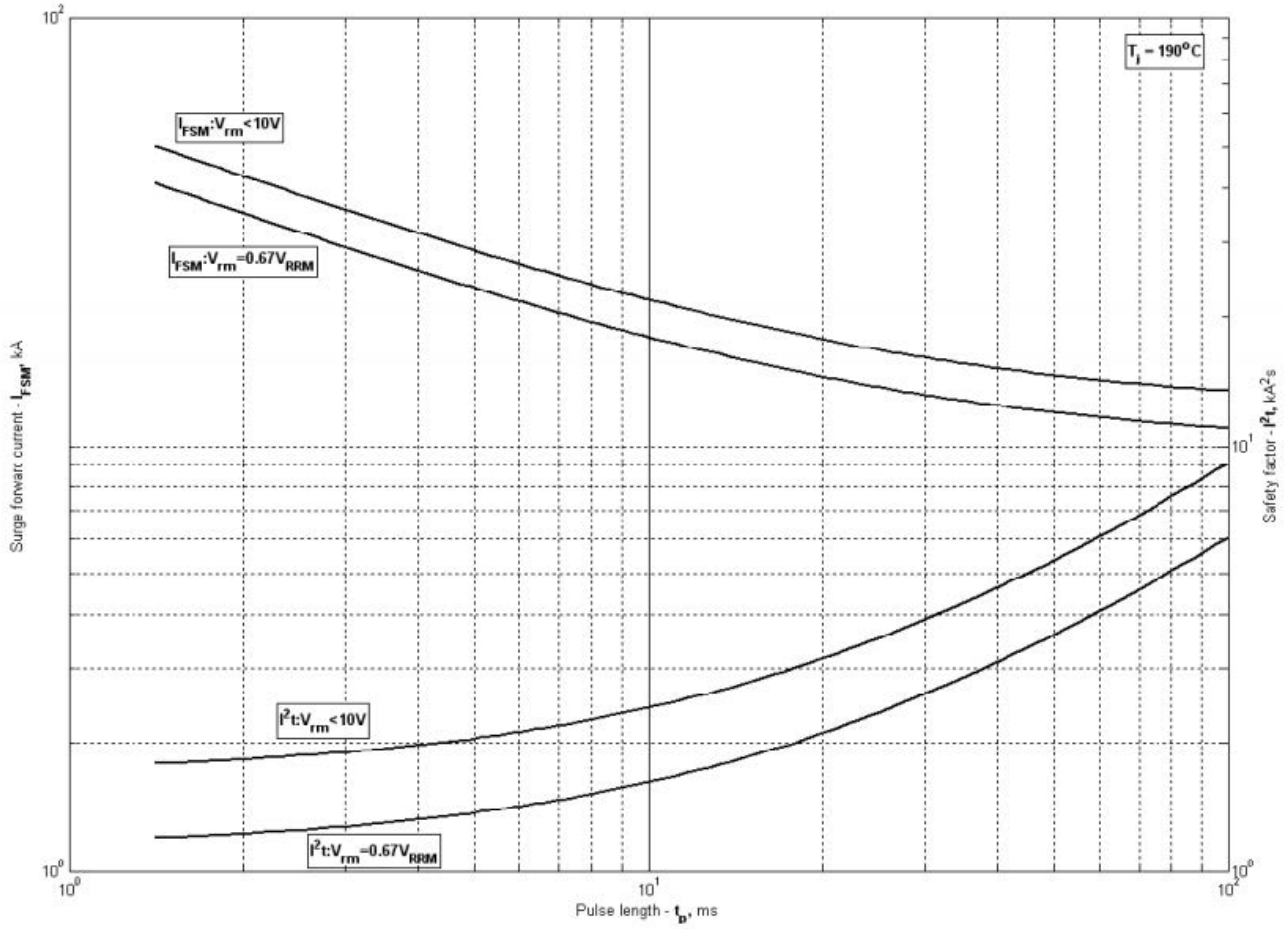

Рис. 11 – Максимальные ударные и I^2t характеристики

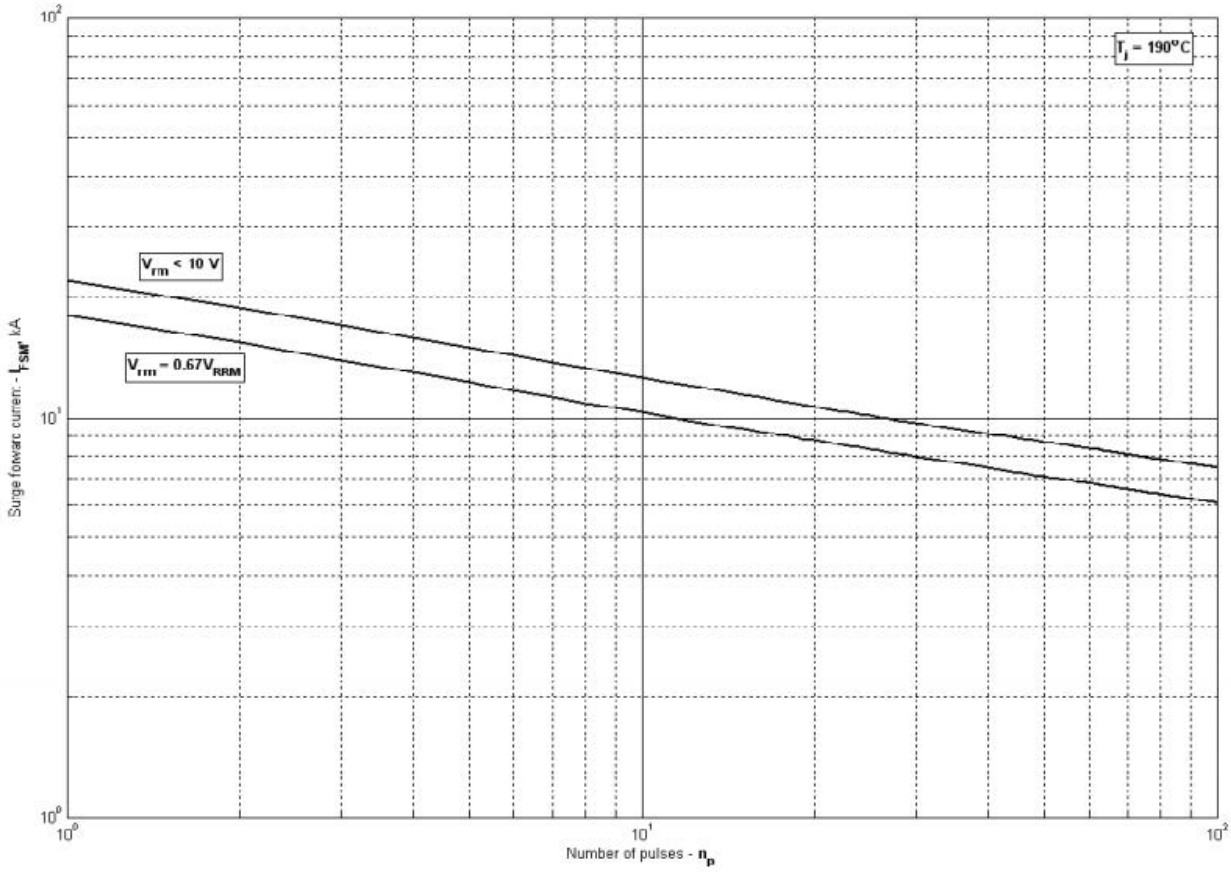

Рис. 12 - Максимальные ударные характеристики